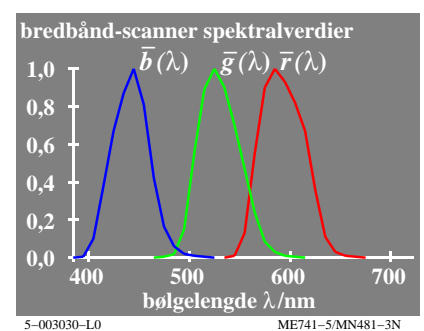
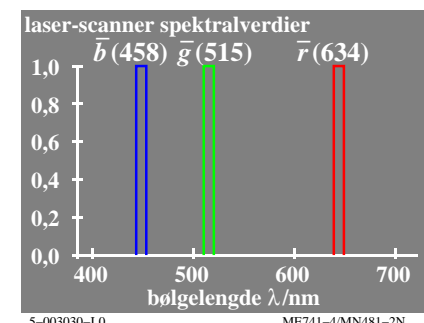
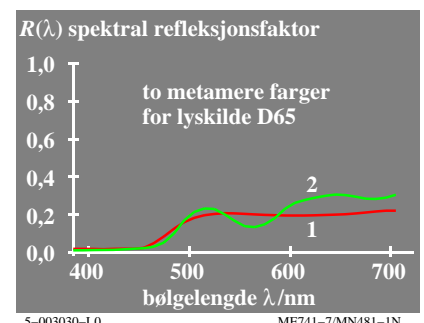
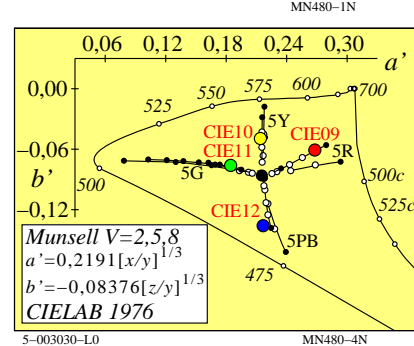
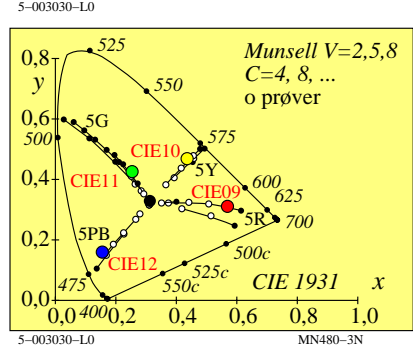


http://130.149.60.45/~farbmetrik/MN48/MN48L0N2.TXT /.PS; start output
N: ingen 3D-linearisering (OL) i fil (F) eller PS-startup (S), side 1/1

farge-egenskaper til den lavere og høyere fargemetrikk		type fargeblanding	
		dikromatisk	trikromatisk
<i>lavere farge- eller valensmetrikk</i>			
hvitverdi	W	(for $Y_- \geq B_-$) B_-	(for $R_- \geq G_- \geq B_-$) B_-
sortverdi	N	$100 - Y_-$	$100 - R_-$
kulørverdi	C	$Y_- - B_-$	$R_- - B_-$
<i>høyere farge- eller fornemmelsesmetrikk</i>			
hvithet	W^*	(for $Y^* \geq B^*$) B^*	(for $R^* \geq G^* \geq B^*$) B^*
sorthet	N^*	$100 - Y^*$	$100 - R^*$
kulørthet	C^*	$Y^* - B^*$	$R^* - B^*$



Fargegjengivelses-indeks R_i av de to metamere BAM-scanner prøvefarger			
scanner	TC farge gjengi-	fargedif-	fersels indeks
	feranse		
bredbånd	1	82	3
	2	84	
laser	1	63	10
	2	69	
ideell	1	100	0
	2	100	

D65, fargejustering med hvitt papir

lavere fargemetrikk (fargedata: lineær relasjon til CIE 1931 data)		
lineære fargebetegnelser	navn og sammenheng med CIE tristimulus- eller kromatisitetsverdier	merknader
tristimulusverdier	X, Y, Z	
kulørverdi	lineært kulørverdi diagram (A, B)	$n=D65$
rød-grønn	$A = [X/Y - X_n/Y_n] Y = [a - a_n] Y$ $= [x/y - x_n/y_n] Y$	(omfelt)
gul-blå	$B = -0,4 [Z/Y - Z_n/Y_n] Y = [b - b_n] Y$ $= -0,4 [z/y - z_n/y_n] Y$	
radiell	$C_{AB} = [A^2 + B^2]^{1/2}$	
kromatisitet	lineært kromatisitetsdiagram (a, b)	sammenlign med li-
rød-grønn	$a = X/Y = x/y$	near tappe-eksitasjon
gul-blå	$b = -0,4 [Z/Y] = -0,4 [z/y]$	$L/(L+M) = P/(P+D)$
radiell	$c_{ab} = [(a - a_n)^2 + (b - b_n)^2]^{1/2}$	$S/(L+M) = T/(P+D)$

høyere fargemetrikk (fargedata: ikke-lineær relasjon til CIE 1931 data)		
ikke-lineære størrelser	navn og sammenheng med tristimulus- eller kromatisitetsverdier	merknader
lyshet	$L^* = 116 (Y/100)^{1/3} - 16$ ($Y > 0,8$) tilnærming: $L^* = 100 (Y/100)^{1/2,4}$ ($Y > 0$)	CIELAB 1976
kulørthet	ikke-lineær transformasjon av kulørverdier A, B	
rød-grønn	$a^* = 500 [(X/X_n)^{1/3} - (Y/Y_n)^{1/3}]$ $= 500 (a' - a'_n) Y^{1/3}$	CIELAB 1976
gul-blå	$b^* = 200 [(Y/Y_n)^{1/3} - (Z/Z_n)^{1/3}]$ $= 500 (b' - b'_n) Y^{1/3}$	CIELAB 1976
radiell	$C^*_{ab} = [a^{*2} + b^{*2}]^{1/2}$	$n=D65$ (omfelt)
kromatisitet	ikke-lineær transformasjon av kromatisiteter x/y, z/y	sammenlign med log tappe-eksitasjon
rød-grønn	$a' = (1/X_n)^{1/3} (x/y)$ $= 0,2191 (x/y)^{1/3}$ for D65	$\log[L / (L+M)]$
gul-blå	$b' = -0,4 (1/Z_n)^{1/3} (z/y)^{1/3}$ $= -0,08376 (z/y)^{1/3}$ for D65	$= \log[P / (P+D)]$
radiell	$c'_{ab} = [(a' - a'_n)^2 + (b' - b'_n)^2]^{1/2}$	$\log[S / (L+M)]$ $= \log[T / (P+D)]$

TUB-testplansje MN48; Computergrafikk og fargemetrikk
Bildeserie MN48, 3D=0, de=0

input: rgb/cmyk -> rgb/cmyk
output: ingen endring

se lignende filer: http://130.149.60.45/~farbmetrik/MN48/MN48L0N2.TXT /.PS; start output
teknisk informasjon: http://www.ps.bam.de eller http://130.149.60.45/~farbmetrik

TUB registrering: 20150701-MN48/MN48L0N2.TXT /.PS
anvendelse for måling av display output

TUB materiell: code=rh4da